

新疆独山子区 VOCs 组成及其对 O₃ 和 SOA 的贡献

张渊钰¹,王新明²,刘晓玲¹,张艳利²,迪丽努尔·塔力甫^{1*},张潇潇¹,阿布力克木·阿不力孜¹,刘伟³(1.煤炭清洁转化与化工过程自治区重点实验室,新疆大学,新疆 乌鲁木齐 830046; 2.中国科学院广州地球化学研究所有机地球化学国家重点实验室,广东 广州 510640; 3.独山子区环境科研监测站,新疆 克拉玛依 833699)

摘要: 参照美国环保署 USEPATO-14 标准方法,分别于非采暖、采暖和沙尘期采集新疆独山子区空气样品,用预浓缩仪和气相色谱/质谱联用系统对其挥发性有机物(VOCs)进行分析。结果表明,采样期间独山子区各类 VOCs 对总 VOCs 的贡献大小依次是:烷烃(61.80%)>烯烃(18.62%)>芳香烃(10.16%)>乙炔(9.42%);用气溶胶生成系数(FAC)估算 VOCs 的二次有机气溶胶(SOA)生成潜势表明,对 SOA 生成贡献最大的是芳香烃,在非采暖、采暖和沙尘期的贡献率分别为 97.80%、87.28% 和 69.52%;用 SPSS 软件和广义相加模型(GAM)分析气象因素、VOCs、O₃ 及 NO_x 之间的关系,表明高温干燥天气有利于 O₃ 生成,且独山子区 O₃ 生成主要受 VOCs 控制,一些烯烃(如 1-丁烯)与 O₃ 呈显著线性关系。

关键词: VOCs; NO_x; O₃; 二次有机气溶胶; 独山子区

中图分类号: X511 文献标识码: A 文章编号: 1000-6923(2020)05-1915-09

DOI:10.19674/j.cnki.issn1000-6923.2020.0215

Volatile organic compounds (VOCs) in Dushanzi, Xinjiang: Compositions and contributions to the formation of O₃ and SOA.
ZHANG Yuan-yu¹, WANG Xin-ming², LIU Xiao-ling¹, ZHANG Yan-li², DILINUER-Talip^{1*}, ZHANG Xiao-xiao¹, ABULIKEMU·Abulizi¹, LIU Wei³(1. Key Laboratory of Coal Clean Conversion and Chemical Engineering Process, Xinjiang Uyghur Autonomous Region, Xinjiang University, Urumqi 830046, China; 2.State Key Laboratory of Organic Geochemistry, Guangzhou Institute of Geochemistry Chinese Academy of Sciences, Guangzhou 510640, China; 3.Dushanzi Environmental Research and Monitoring Station, Karamay 833699, China). *China Environmental Science*, 2020,40(5): 1915~1923

Abstract: Air samples were collected in the Dushanzi district of Xinjiang Uyghur Autonomous Region, China during the non-heating, heating and sandstorm periods for the analysis of volatile organic compounds (VOCs) by a preconcentrator coupled to a gas chromatography/mass spectrometer according to the USEPATO-14 standard method. The results showed that group compositions of VOCs in Dushanzi district during the sampling period were ranked in the order of alkanes (61.80%), alkenes (18.62%), aromatics (10.16%) and acetylene (9.42%). The secondary organic aerosol (SOA) formation potentials of VOCs as estimated by fractional aerosol coefficient (FAC) method revealed that aromatics contributed the most to SOA formation during non-heating, heating and sandstorm period, with contribution percentages of 97.8%, 87.28% and 69.52%, respectively. SPSS software and generalized additive model (GAM) were used to analyze the relationships among meteorological factors, VOCs, O₃ and NO_x. The results demonstrated that high temperature and dry weather were conducive to the formation of O₃. The O₃ formation in Dushanzi district seemed to be VOCs-limited, and alkenes such as 1-butene showed significant linear correlation with O₃.

Key words: VOCs; NO_x; O₃; secondary organic aerosol; Dushanzi district

二次有机气溶胶(SOA)是城市大气环境 PM_{2.5} 的重要成分^[1-2],对气候变化、人类健康等产生严重影响^[3-4]。SOA 可由挥发性有机物(VOCs)或半挥发性有机物(semi-VOCs)经过复杂的大气物理化学过程形成^[5]。近年来国内外学者借助 FAC 系数法研究不同地区 VOCs 的 SOA 的生成潜势,发现生成 SOA 的优势组分为芳香烃和异戊二烯,而人为源 VOCs 中芳香烃对 SOA 生成贡献最大^[6-10]。近地面 O₃ 污染物近年日益引起关注^[11]。大气对流层 O₃ 污染危及人体呼吸道、肺功能等系统^[12],主要由 NO_x 和 VOCs 光化学反应产生^[13],并受区域风向、温度、风速、相对

湿度等气象因素的影响^[14]。因此,研究 VOCs 组成及其对 O₃ 和 SOA 贡献,对控制 PM_{2.5} 和 O₃ 污染有重要意义。

克拉玛依市独山子区位于天山北部,准噶尔盆地边缘,属于典型的干旱石化区域。虽然前期已有学者针对独山子区 PM_{2.5} 的化学组成、来源及其变化特征进行了分析研究^[15-16],但该区域 VOCs 和 NO_x

收稿日期: 2019-10-15

基金项目: 国家自然科学基金资助项目(41967050);有机地球化学国家重点实验室开放基金资助项目(SKLOG-201915)

* 责任作者, 教授, dilnurt@xju.edu.cn

及其对 SOA 和 O₃ 生成贡献的研究还鲜有报道。因此,本文在前人研究基础上,于 2015~2016 年非采暖、采暖和沙尘期对采集的独山子区大气 VOCs 进行分析,探讨了 VOCs 的组成特征及其浓度水平;利用 VOCs、NO_x 浓度及气象参数分析讨论了区域大气 SOA 和 O₃ 生成潜势,并确定了 O₃ 生成的主要前驱物,为制定独山子区域 SOA 和 O₃ 的控制措施提供了理论依据。

1 材料与方法

1.1 样品采集

1.1.1 采样地点和时间 采样地点位于新疆克拉玛依市独山子区(北纬:44°19'33",东经:84°53'0")。采样点西北部是大型化学工业区(天利高新,独山子石化,水泥厂和乙烯厂等),北部是奎屯市。采样点周围环绕着几条主要交通线路,属于混合型功能区^[15]。采样点距离地面高约 20m,周边半径 1km 内无高的建筑。采样时间分为非采暖期(2015 年 9 月 14~19 日),采暖期(12 月 10~16 日)和沙尘期(2016 年 4 月 19~24 日)。每日的采样时间段为:早 9:30~10:30;中 14:30~15:30;晚 22:30~23:30,每天采集 3 个样品,每个时期连续采样一周。

1.1.2 VOCs 样品采集 参照美国环保署(USEPA TO-14)标准,用特制体积为 2L 的不锈钢采样罐(Canister)进行 VOCs 样品采集。采样前每个采样罐均用高纯氮气进行 5 次以上的反复充气和抽真空清洗,清洗后每 10 只采样罐选取 1 只注入高纯氮气放置 24h 以上,并按样品分析标准流程进行分析,保证采样罐内目标化合物不被检出或低于检测限,抽查合格后抽真空备用。采样时,采样罐进气口加限流阀进行小时平均样品采集,确保每个样品持续时间约 60min。采样结束以后,拧紧阀门,加盖采样帽,记录相关数据。所有样品均保证在一个月之内完成分析。本研究所采集的样品,均在中科院广州地球化学研究所有机国家重点实验室分析完成。

1.2 样品分析

样品 VOCs 全组分由预浓缩仪(Entech 7100, USA)和气相色谱/质谱(GC-MSD/FID/ECD, 6890/Agilent 5973N 及 6890/Agilent 5975)联用系统进行定性定量分析。系统以高纯氦气作为运载气,载气流速

为 4mL/min,抽取采样罐中 350mL 样品,气体经预浓缩进样通道,按程序进入一、二、三级冷阱捕集阱,具体方法详见文献[17]。实验根据色谱保留时间和质谱图进行定性分析,采用外标法根据色谱峰面积进行定量分析。

1.3 质量保证和质量控制

在采样前,为保证罐内目标化物质浓度小于检测限,采样罐严格按标准进行前处理。为保证仪器检测的数据有效,需要在样品分析之前或仪器重新开机后均先进行 MSD(mass spectrometry detector)自动调谐。每天进行样品分析前,先分析高纯氮试样进行空白检验,保证仪器系统未被污染;再通过分析标样(通常为 1.0×10^{-9} 混合标气)检验仪器响应曲线是否变化,若与校正曲线响应值差别大于 20%,则需要重新建立校正曲线。VOCs 定量通过特征离子峰面积由工作站软件自动完成^[17],浓度以标况下的体积分数 ppbv(10^{-9})表示。本研究中目标 VOCs 组分方法检测限为 $(3\sim 57) \times 10^{-12}$,其在样品中浓度均高于检测限。采样期间的气象参数、O₃、NO_x 和 SO₂ 等数据由独山子环境监测站提供。

2 结果分析

2.1 VOCs、NO_x 及 O₃ 时间分布特征

样品检出 VOCs 包括烷烃类 25 种,烯烃类 17 种,芳香烃类 14 种,炔烃类 1 种(图 1),总 VOCs 的平均浓度为 $(23.2 \pm 5.8) \times 10^{-9}$,变化范围 $(5.3 \sim 58.2) \times 10^{-9}$ 。非采暖期(9 月)VOCs 浓度为 $(23.1 \pm 5.5) \times 10^{-9}$,低于上海 2011 年 9 月^[7]所测得的水平 $(30.9 \pm 30.8) \times 10^{-9}$;上海秋季各类物质占比为烷烃 53.6%、烯烃 27.9%、芳香烃 11.0%^[7],独山子区秋季烷烃与芳香烃类占比相对较多(60.4% 与 14.6%),而烯烃类占比较少(12.0%);采暖期 VOCs 的浓度最大 (29.0×10^{-9}) ,沙尘期最小 (17.4×10^{-9}) 。非采暖、采暖和沙尘期烷烃的占比分别为 60.4%、67.1% 和 54.7%;烯烃在采暖期占 22.3%,沙尘期次之(20.0%),非采暖期最少(12.0%);在整个采样期间芳香烃与炔烃的浓度较少。采样期间,各类化合物中所测组分的占比如图 2 所示。烷烃类组分的贡献率为:乙烷(22.7%)>丙烷(15.4%)>正己烷(13.3%)>异丁烷(12.0%)>异戊烷(11.6%)>正丁烷(10.9%)>正戊烷(7.1%),其他烷烃贡献率总和为 7.1%;烯烃类化合物中丙烯、乙烯、

1-丁烯、异戊二烯和其他烯烃贡献率分别为:36.7%、35.4%、5.3%、6.6%、11.6%;芳香烃类组分中甲苯、苯、苯乙烯、间/对二甲苯、邻二甲苯以及乙苯贡献率分别为:31.2%、21.0%、12.6%、6.4%、5.5%、4.6%,其他芳香烃贡献率总和为18.6%。由此看出,独山子区烯烃组分中最丰富的物质为丙烯和乙烯;甲苯、苯、苯乙烯是独山子区 VOCs 中芳香烃类物质最丰富的组分。与广州黄埔区 VOCs 的优势组分浓度特征相比(2017年)^[18],独山子区主要烷烃物质(如乙烷、丙烷)及苯系物的浓度较低,但戊烷类浓度较高,这可能是由于独山子区的戊烷生产企业挥发所致。

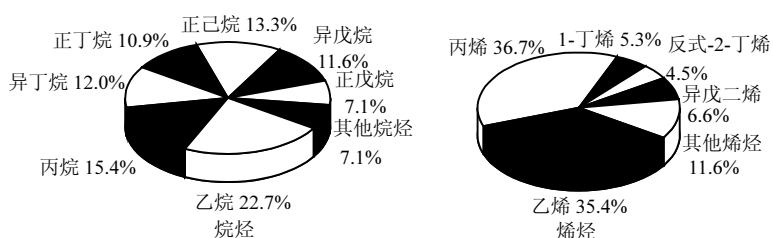


图 2 采样期间 VOCs 各组分主要成分及其占比

Fig.2 Percentages shared by major species in different groups of VOCs during the sampling period

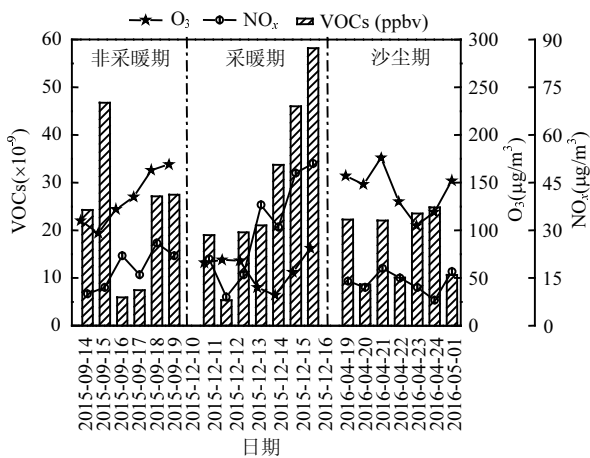


图 3 不同采样期 VOCs、O₃ 和 NO_x 变化趋势

Fig.3 Variations of VOCs, O₃ and NO_x during the different sampling periods

图 3 所示,独山子区由于春、秋日照较强,冬季日照较弱,在沙尘和非采暖期 VOCs-NO_x 光化学反应较为活跃,所以 O₃ 浓度的日均值呈现沙尘和非采暖期浓度较高,采暖期最低的趋势,而 VOCs 和 NO_x 浓度呈现采暖期高,沙尘和非采暖期低的趋势。VOCs 浓度含量最高值位于采暖期(58.2×10^{-9}),这可能与采暖期煤炭燃烧有关。沙尘期整体 VOCs 浓度

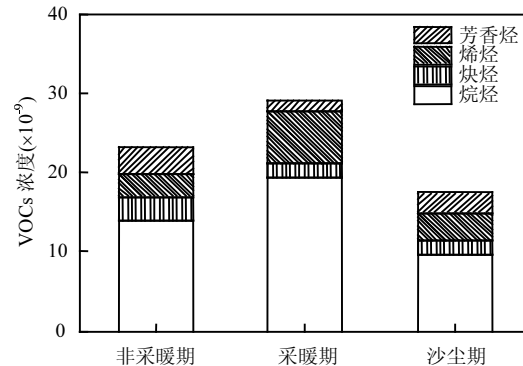
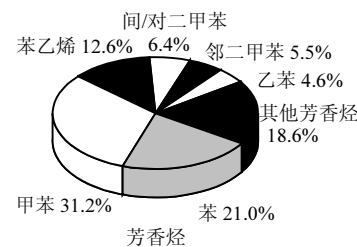


图 1 不同采样期 VOCs 浓度及其组成比较

Fig.1 Comparison of total concentrations of VOCs and their group compositions during the heating, non-heating and sandstorm periods



分布较均衡,平均值为 17.4×10^{-9} 。NO_x 和 O₃ 浓度在非采暖、采暖、沙尘期的最高值分别为 26.0, 51.0, $18.0 \mu\text{g}/\text{m}^3$ 和 $169.0, 69.0, 176.0 \mu\text{g}/\text{m}^3$, 与 2009 年和 2010 年新疆阜康地区^[19]非采暖期 NO_x 和 O₃ 浓度的最高值(70.0×10^{-9} 、 55.8×10^{-9} 和 96.9×10^{-9} 、 53.2×10^{-9})相比,独山子区 NO_x 浓度较低,但 O₃ 污染较严重。

2.2 气象因素对气相污染物的贡献

由于 VOCs-NO_x 在大气中转化以及 O₃ 生成主要是通过光化学反应,与气象因素息息相关^[19-21]。采样期间气象因素与气相污染物的皮尔森相关性分析表明(表 1),温度与 VOCs 呈现负相关(-0.5*),与 NO_x 显著负相关(-0.8**),与 O₃ 呈显著正相关关系(0.9**),说明较高的温度可能会促使 VOCs、NO_x 转化生成 O₃;另一方面,研究显示^[22-23]太阳短波紫外辐射会引起温度变化,而随着辐射的增加温度上升,O₃ 浓度也增加,说明大气辐射对 O₃ 生成的影响不能忽略;风速与 VOCs 及 NO_x 之间均呈负相关(-0.2,-0.6*),与 O₃ 呈显著正相关(0.7**),这可能是因为大风天气有利于 VOCs、NO_x 的扩散,同时有可能造成 O₃ 的区域性输送^[19];而相对湿度与 O₃ 呈显著负相关

(-0.9**),对 VOCs 及 NO_x 均为正相关(0.5,0.7**).因此可以认为高湿度、低温度不利于 VOCs、NO_x 转化生成 O₃;表 1 结果进一步表明 VOCs 和 NO_x 均与 O₃ 呈负相关(-0.4,-0.5*),说明独山子区 O₃ 生成不仅与 VOCs 和 NO_x 浓度有关,而且与温度、相对湿度等气象因素关系很大.独山子区进入采暖期温度较低,相对湿度较大,日照时间短以及较高的颗粒物浓度都可能导致 O₃ 无法经过光化学过程生成.此外,O₃ 浓度还与天气过程有关,高压系统控制下的天气较晴朗,容易形成高浓度 O₃;而在低气压控制的天气往往会造成云雨,O₃ 浓度较低^[24].可见,在高温干燥晴朗少云的天气易于 VOCs、NO_x 转化生成 O₃.

图 1 采样期间各污染物与气象因素之间的统计相关系数

Table 1 Correlations between the pollutants and meteorological factors during the sampling period

| 项目 | VOCs | O ₃ | NO _x | 温度 | 风速 | 相对湿度 |
|-----------------|-------|----------------|-----------------|--------|--------|------|
| VOCs | 1 | | | | | |
| O ₃ | -0.4 | 1 | | | | |
| NO _x | 0.6* | -0.5* | 1 | | | |
| 温度 | -0.5* | 0.9** | -0.8** | 1 | | |
| 风速 | -0.2 | 0.7** | -0.6* | 0.8** | 1 | |
| 相对湿度 | 0.5 | -0.9** | 0.7** | -0.9** | -0.7** | 1 |

注:*.在0.05水平(双侧)上显著相关; **.在0.01水平(双侧)上显著相关.

2.3 气象参数、NO_x 对 O₃ 生成的协同作用

为研究气象因素和 NO_x 对 O₃ 的协同作用,利用 R 软件采用逐步回归方法建立了 O₃ 与各气象参数和 NO_x、VOCs 的回归方程^[25],并引入参数(能见度)以提高模型拟合度,而在回归过程中 VOCs 被自动剔除,最终所得回归模型为:

$$Y=149.73+1.25X_1-1.61X_2-1.15X_3X_7+0.016X_2X_3X_7+0.46X_2\frac{1}{X_5} \quad (1)$$

式中:Y 为 O₃ 浓度,μg/m³;X₁ 为温度,℃;X₂ 为相对湿度,%;X₃ 为风速,m/s;X₇ 为能见度,km;X₅ 为 NO_x 浓度,μg/m³.方程的检验结果见表 2、3.

由表 2 和 3 可看出,R² 接近 1,t 检验与 F 检验值小于 0.05,默认模型可行.R 软件所得结果与 SPSS 的相关性结论基本一致,说明温度与风速,相对湿度、风速和 NO_x 的浓度以及相对湿度和能见度之间的协同作用会对 O₃ 生成产生影响.为确定影响 O₃ 浓度最大的参数需引入相对权重,各影响因子的贡献率如表 4 所示,其中相对湿度(X₂)的贡献率最大(35.3%),依次是温度(X₁),能见度(X₅),NO_x 浓度(X₇)和风速(X₃).

此结果与表 1 的统计结果相近,再次说明独山子区相对湿度等气象因素对 O₃ 的生成起重要作用.

表 2 优化气象模型初步检验

Table 2 preliminary test of optimized meteorological model

| 参数 | 决定系数 | 校正复相关 | 回归系数显著性 | 回归方程显著性 |
|--|----------------|-----------------------|-----------------------|-----------------------|
| | R ² | 系数 Adj-R ² | t-test | F-test |
| Y | 0.8 | 0.8 | | 2.2×10 ⁻¹⁶ |
| β_0 | | | 2.0×10 ⁻¹⁶ | |
| X ₁ | | | 1.4×10 ⁻³ | |
| X ₂ | | | 9.30×10 ⁻⁷ | |
| X ₁ X ₃ | | | 1.2×10 ⁻⁴ | |
| X ₂ X ₃ X ₇ | | | 5.2×10 ⁻³ | |
| X ₂ X ₅ ^{1/6} | | | 1.56×10 ⁻⁵ | |
| 条件 | 1 | 1 | <0.05 | <0.05 |

表 3 综合检验

Table 3 Comprehensive test

| 项目 | 数值 | 假定值 | 决定 |
|-------|-----|-----|-------|
| 数据综合 | 4.5 | 0.3 | 假设可接受 |
| 偏度 | 0.4 | 0.5 | 假设可接受 |
| 峰度 | 1.4 | 0.2 | 假设可接受 |
| 连接函数 | 1.7 | 0.2 | 假设可接受 |
| 异方差检验 | 1.0 | 0.3 | 假设可接受 |

表 4 各变量的贡献率

Table 4 Parameter contribution rates

| 参数 | 所占比重(%) |
|-------------------------------|---------|
| X ₁ | 29.0 |
| X ₂ | 35.3 |
| X ₃ | 4.8 |
| X ₅ ^{1/6} | 24.5 |
| X ₇ | 6.4 |

2.4 VOCs 对 O₃ 的贡献

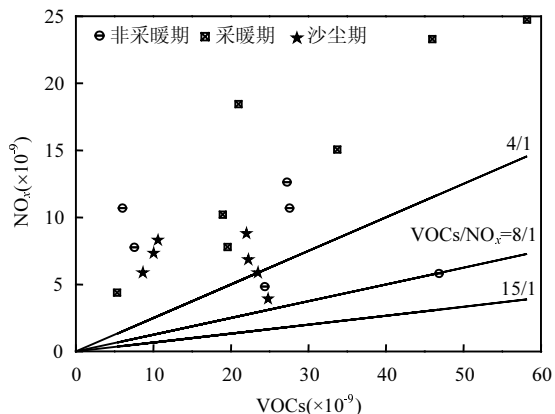


图 4 不同时期独山子区 VOCs/NO_x 比值
Fig.4 VOCs/NO_x ratios in Dushanzi during different periods

研究表明,当环境中存在 VOCs 时,VOCs 与 HO_·发生光化学反应生成 HO₂[·]、RO₂[·]等以促进 O₃ 的形成,使 O₃ 与 NO_x 的转换失衡,进而使得 O₃ 在大气中积累^[26]. 大气中 VOCs 种类繁多且化学结构各不相同,意味着它们参与大气化学反应的能力以及对 O₃ 形成所做的贡献也不相同^[27].

经验动力学模型(EKMA)在 20 世纪 80 年代开始采用,它揭示了 O_3 与其前体物的非线性关系^[28]. EKMA 方法 VOCs- NO_x 控制区 O_3 等体积分数线充分说明了 VOCs 和 NO_x 对于 O_3 生成的重要性. 用 VOCs/ NO_x 值可以粗略判断 VOCs 和 NO_x 在 O_3 生成

时所起的作用,了解O₃生成的控制因素,给污染物排放控制提供理论依据。研究指出,当 VOCs/NO_x>8/1 时,O₃对 NO_x 的浓度比较敏感;当 VOCs/NO_x<8/1 时,VOCs 对 O₃ 的生成影响较大,位于 VOCs 的控制区。

图 4 给出了 3 个时期独山子区 VOCs 和 NO_x 的变化范围.从图可以看出 VOCs 与 NO_x 的比值基本在 8/1 线的上方,说明独山子区的 O₃ 生成受 VOCs 的影响较大,属于 VOCs 控制区,但是受影响程度会因时期的的不同而有所变化.此结果与罗蕊等^[29]得出的深圳市 O₃ 污染属于 VOCs 敏感型的结论一致.

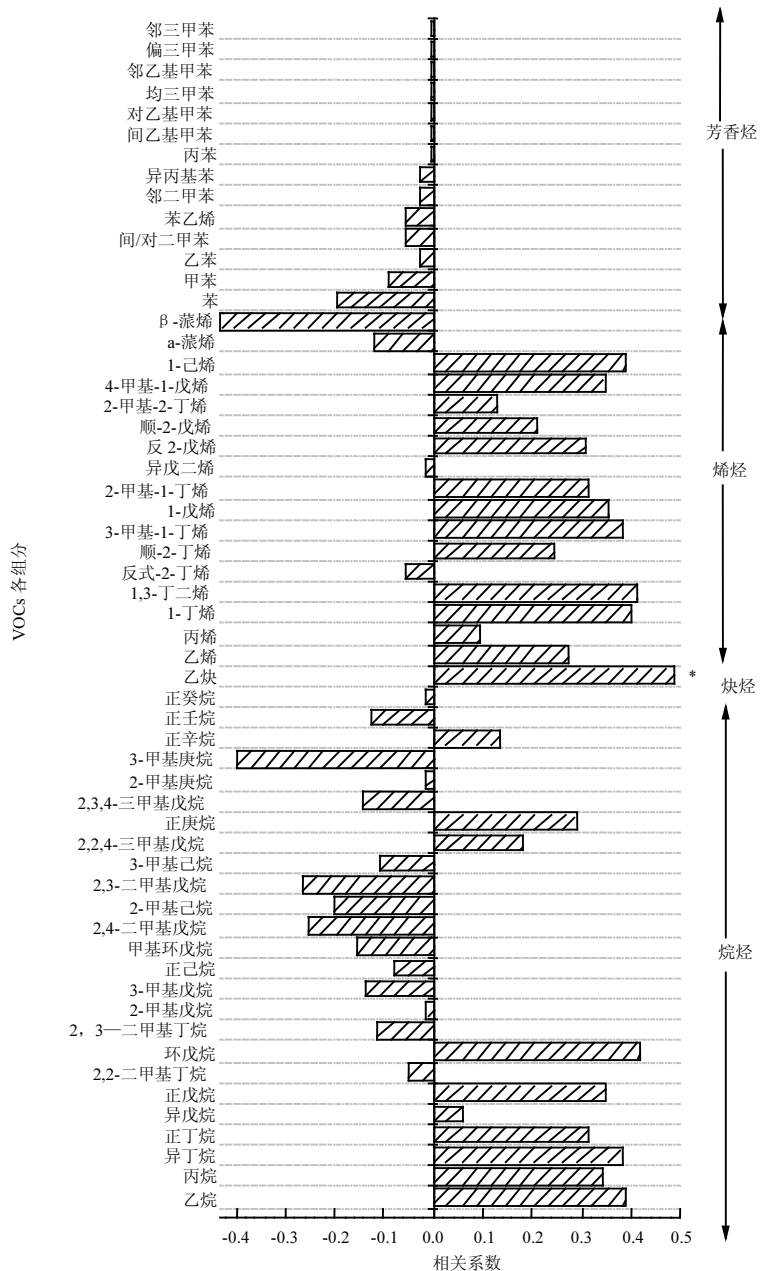


图 5 VOCs 各组分与 O₃浓度的相关性分析
Fig.5 Correlations between VOCs components and O₃

由图4进一步看出,采暖期的数据点均位于4/1线的上方,这可能是由于采暖加大了煤的燃烧造成;非采暖期的部分数据点落在了8/1和4/1线的中间,说明非采暖期O₃的生成主要受VOCs的控制,但NO_x的影响也不能忽略。为了进一步了解VOCs各组分对O₃浓度的影响,本研究用SPSS软件分析了VOCs各组分浓度与O₃浓度之间的相关性(如图5所示)。所测得的57种VOCs中共有34种与O₃浓度呈负相关,其余呈现正相关趋势。而只有乙炔与O₃在0.05水平上显著正相关。由图可以看出芳香烃与O₃浓度呈负相关,烯烃大部分都是正相关,烷烃中碳C₂~C₅与O₃呈现正相关,C₆~C₁₂呈现负相关,且芳香烃整体与O₃浓度的相关性都较大。这一结果进一步验证了之前的研究所表明的烯烃与芳香烃是影响O₃生成的重要组分^[29~31]的结论,也可说明独山子区大气生成O₃的VOCs的优势组分与其他地区相同。

表5 修正GAM模型的回归结果

Table 5 Regression results of modified GAM model

| 平滑效应项 | 估计自由度 | 参考自由度 | F | P |
|-------|-------|-------|------|-------------------------|
| 1-丁烯 | 1.0 | 1.0 | 14.6 | $4.0 \times 10^{-3}**$ |
| 乙炔 | 4.3 | 5.0 | 12.1 | $4.4 \times 10^{-4}***$ |
| 环戊烷 | 5.0 | 5.0 | 14.3 | $5.6 \times 10^{-4}***$ |

利用广义相加模型(GAM)^[32]拟合独山子区VOCs各组分与O₃的浓度关系表明(表5和图6),VOCs各组分中只有1-丁烯、乙炔和环戊烯与O₃的生成有一定的关系。图6中实线表示解释变量与O₃浓度之间拟合的光滑曲线,两条虚线表示函数的标准差,即置信区间的上下限。由此效应图可知,实验样本数据均在函数标准差之内,环戊烷、乙炔与O₃呈非线性关系,1-丁烯与O₃呈线性关系。O₃浓度随1-丁烯浓度的增加而呈上升趋势;当乙炔的浓度<2000×10⁻⁹时,O₃的浓度随着乙炔浓度的增加而增加,但乙炔的浓度>2000×10⁻⁹后,O₃浓度的增加趋于平稳;环戊烷的浓度区间不同,对O₃浓度的影响也不同。在(200~400)×10⁻⁹的区间呈现正相关,在200×10⁻⁹以内呈现负相关。研究表明独山子区乙炔与1-丁烯主要来源于煤炭燃烧^[33],乙炔又是典型的不完全燃烧过程产物^[34],一些研究表明1-丁烯是火力发电厂烟气的标记物质^[35~37],可以更具体为火力发电厂燃烧排放;环戊烷可能是由于石油工业园生产过程中

泄漏所致。因为采样区为西部不可或缺的石油工业基地,所以O₃生成过程中除去对其影响较大的烯烃与芳香烃,还包括了环戊烷等组分。

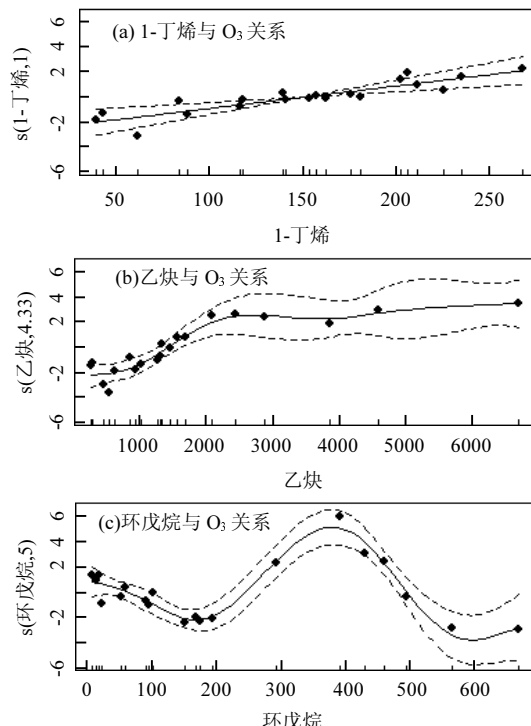
图6 VOCs组分的效应($\times 10^{-9}$)

Fig.6 Effect maps of VOCs components

2.5 VOCs的SOA生成潜势

本研究利用1989年与1992年Grosjean等^[28,38]的气溶胶生成系数(FAC)与VOCs物种中参与反应的分数(FVOC_r)数据估算了VOCs的SOA生成潜势,公式如下^[8]:

$$SOA_p = VOC_{S_0} \times FAC \quad (2)$$

式中:SOA_p代表SOA生成潜势,μg/m³;VOC_{S_0}代表污染物的初始浓度,μg/m³;FAC是SOA的生成系数。由采样点的实测数据VOCs_实用公式(3)换算可得VOCs₀。

$$VOC_{S_{\text{实}}} = VOC_{S_0} \times (1 - FVOC_p) \quad (3)$$

按Grosjean等的假设,每天SOA的生成均从8:00~17:00,VOCs生成SOA的产率不随环境条件而变化,且只与OH·发生反应。根据烟雾箱实验提出用FAC来反映SOA与VOCs₀浓度之间的关系,并对多种VOCs的FAC进行测定。式(2)和式(3)中的FAC和FVOC_r来自烟雾箱实验。由于较早的研究并未证明异戊二烯与SOA的关系,所以并未测得异戊二烯的FAC。本文中,异戊二烯的VOCs₀计算式为(4)、(5)^[14]:

$$VOC_{S_{\text{实}}} = VOC_{S_0} \times \exp(-k_i[OH]\Delta t) \quad (4)$$

$$\Delta t = \frac{1}{[\text{OH}](k_E - k_X)} \times \left(\ln \left\{ \frac{E}{X} \right|_{t=t_0} \right) - \ln \left\{ \frac{[E]}{[X]} \right|_{t=t} \right) \quad (5)$$

式中: k_i 为 VOCs_实 与 OH 自由基的反应速率常数; k_E 、 k_X 为乙苯(E)与间/对二甲苯(X)与 OH 自由基的反应速率常数; $[\text{OH}]$ 是 OH 自由基的混合比例; Δt 是反应时间或光化学年龄; $\left. \frac{[E]}{[X]} \right|_{t=t_0}$ 为乙苯与间/对二甲苯初始混合比, 即 [E] 与 [X] 在 VOCs 排放源中的比值;

$\left. \frac{[E]}{[X]} \right|_{t=t}$ 为 t 时刻 [E] 与 [X] 的比值。根据以往的研究可知, $\left. \frac{[E]}{[X]} \right|_{t=t_0}$ 对于车辆尾气排放和煤炭燃烧相关

源的值为 0.3~0.4^[39], 对于溶剂使用的值 0.4~0.5^[40], 对于生物质燃烧以及化学化工过程该值约为 0.5~0.7^[39]。独山子区的主导为工业排放, 因此选择 $\left. \frac{[E]}{[X]} \right|_{t=t_0}$ 的值为 0.5。各种 VOCs 组分的 SOA 生成潜势见表 6。

大气环境中 VOCs 的不同组分生成 O₃ 和 SOA 的能力不同, 且不同地区各组分的贡献也不同。计算结果表明, 独山子区测得的 57 种 VOCs 中对 SOA 生成有贡献的有 20 种, 其中烷烃有 7 种, 芳香烃有 12 种, 烯烃有 1 种。且非采暖期 SOA 的生成潜势最大, 采暖期次之, 沙尘期最少。图 7 显示了不同时期 VOCs 中 3 大组分对 SOA 生成的贡献率, 可以看出整个采样期间芳香烃对 SOA 生成的贡献最大, 非采暖期达到 97.8%。芳香烃中甲苯、邻二甲苯、间乙基甲苯、均三甲苯和间/对二甲苯的 SOA 生成潜势较大。沙尘期烯烃的贡献率由最低 0.5% 增加到 25.0%, 烯烃中的主要贡献物是异戊二烯, 而烷烃主要为正癸烷(>C₅)。烯烃和烷烃在各采样期间的贡献不同, 可能是在各采样期间 VOCs 的种类和浓度有较大差异。上述结果与 Barthelmie 等^[41]、Dechapanya 等^[42]、Kourtidis 等^[43] 和吕子峰等^[6]的探讨结果相同。总体而言, 独山子区 VOCs 中除芳烃之外, 烯烃即异戊二烯对二次有机气溶胶的生成所起到的作用不容忽视。

表 6 采样期间独山子区 SOA 生成潜势和各 VOCs 的贡献率

Table 6 Potential of SOA generation and contribution rate of VOCs in Dushanzi district during the sampling period

| 种类 | VOCs 浓度(μg/m ³) | | | FVOCr | FAC | SOA 浓度(μg/m ³) | | | 贡献率(%) | | |
|-----|-----------------------------|-------|------|-------|-------|----------------------------|--------|-------|--------|-------|-------|
| | 非采暖期 | 采暖期 | 沙尘期 | (%) | (%) | 非采暖期 | 采暖期 | 沙尘期 | 采暖期 | 采暖期 | 沙尘期 |
| 烷烃 | 甲基环戊烷 | 0.70 | 1.36 | 0.97 | 10.00 | 0.20 | 0.13 | 0.26 | 0.18 | 0.03 | 1.82 |
| | 2,4-二甲基戊烷 | 0.08 | 0.19 | 0.10 | - | 0.00 | 0.00 | 0.00 | 0.00 | 0.00 | 0.00 |
| | 2-甲基己烷 | 0.17 | 0.23 | 0.14 | - | 0.00 | 0.00 | 0.00 | 0.00 | 0.00 | 0.00 |
| | 2,3-二甲基戊烷 | 0.07 | 0.12 | 0.07 | - | 0.00 | 0.00 | 0.00 | 0.00 | 0.00 | 0.00 |
| | 3-甲基己烷 | 0.25 | 0.26 | 0.15 | - | 0.00 | 0.00 | 0.00 | 0.00 | 0.00 | 0.00 |
| | 2,2,4-三甲基戊烷 | 0.11 | 0.08 | 0.09 | - | 0.00 | 0.00 | 0.00 | 0.00 | 0.00 | 0.00 |
| | 正庚烷 | 0.21 | 0.22 | 0.29 | 14.00 | 0.06 | 0.01 | 0.02 | 0.02 | 0.00 | 0.11 |
| | 2,3,4-三甲基庚烷 | 0.01 | 0.02 | 0.01 | - | 0.00 | 0.00 | 0.00 | 0.00 | 0.00 | 0.00 |
| | 2-甲基庚烷 | 0.06 | 0.07 | 0.06 | 10.00 | 0.50 | 0.03 | 0.04 | 0.03 | 0.01 | 0.28 |
| | 3-甲基庚烷 | 0.04 | 0.05 | 0.03 | 10.00 | 0.50 | 0.02 | 0.03 | 0.02 | 0.00 | 0.19 |
| 芳香烃 | 正辛烷 | 0.09 | 0.10 | 0.10 | 17.00 | 0.06 | 0.01 | 0.01 | 0.01 | 0.00 | 0.05 |
| | 正壬烷 | 0.35 | 0.21 | 0.16 | 20.00 | 1.50 | 0.66 | 0.40 | 0.31 | 0.16 | 2.79 |
| | 正癸烷 | 2.52 | 0.10 | 0.04 | 22.00 | 2.00 | 6.46 | 0.26 | 0.10 | 1.54 | 1.85 |
| | 苯 | 1.47 | 1.52 | 0.87 | 2.00 | 0.65 | 0.97 | 1.01 | 0.58 | 0.23 | 7.11 |
| | 甲苯 | 3.44 | 0.72 | 0.58 | 12.00 | 5.40 | 21.10 | 4.45 | 3.56 | 5.03 | 31.38 |
| | 乙苯 | 0.41 | 0.17 | 0.19 | 15.00 | 5.40 | 2.63 | 1.06 | 1.21 | 0.63 | 7.45 |
| | 间/对二甲苯 | 0.75 | 0.29 | 0.28 | 34.00 | 4.70 | 5.33 | 2.06 | 1.99 | 1.27 | 14.52 |
| | 邻二甲苯 | 1.08 | 0.14 | 0.10 | 26.00 | 5.00 | 7.30 | 0.97 | 0.66 | 1.74 | 6.81 |
| | 异丙基苯 | 1.47 | 0.06 | 0.01 | 13.00 | 4.00 | 6.76 | 0.27 | 0.06 | 1.61 | 1.91 |
| | 丙苯 | 3.66 | 0.05 | 0.01 | 12.00 | 1.60 | 6.65 | 0.09 | 0.02 | 1.59 | 0.60 |
| 烯烃 | 间乙基甲苯 | 5.14 | 0.06 | 0.02 | 31.00 | 6.30 | 46.90 | 0.51 | 0.15 | 11.18 | 3.58 |
| | 对乙基甲苯 | 4.39 | 0.04 | 0.01 | 21.00 | 2.50 | 13.88 | 0.12 | 0.02 | 3.31 | 0.87 |
| | 均三甲苯 | 6.16 | 0.05 | 0.01 | 74.00 | 2.90 | 68.73 | 0.52 | 0.10 | 16.39 | 3.67 |
| | 偏三甲苯 | 14.03 | 0.12 | 0.02 | 58.00 | 2.00 | 66.81 | 0.58 | 0.09 | 15.93 | 4.07 |
| | 邻三甲苯 | 22.20 | 0.10 | 0.01 | 51.00 | 3.60 | 163.10 | 0.75 | 0.07 | 38.89 | 5.30 |
| | 异戊二烯 | 0.51 | 0.17 | 0.21 | - | 2.00 | 1.90 | 0.80 | 3.06 | 0.45 | 5.63 |
| | 合计 | 69.33 | 6.48 | 4.51 | | | 418.43 | 13.77 | 10.69 | 100.0 | 100.0 |

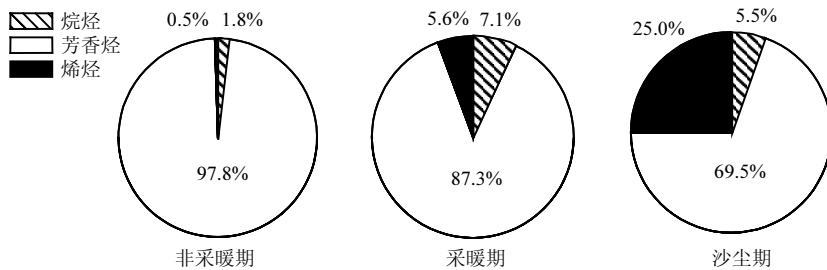


图 7 不同采样期间各组分对 SOA 生成潜势贡献

Fig.7 Contribution of SOA formation potentials by different groups of VOCs during non-heating, heating and dust periods

3 结论

3.1 2015~2016年独山子区大气 VOCs 的平均体积浓度为 $(23.2\pm5.8)\times10^{-9}$, 变化范围 $(5.3\sim58.2)\times10^{-9}$, 浓度变化为: 采暖期>非采暖期>沙尘期。

3.2 O₃ 浓度与气象参数相互关系的统计分析表明, 高湿度、低温度不利于 VOCs 和 NO_x 转化生成 O₃。

3.3 独山子区大气 O₃ 生成属 VOCs 控制, 其中烯烃是影响 O₃ 生成的重要前驱 VOCs。

3.4 芳香烃在 VOCs 平均占比为 10.3%, 但对 SOA 的生成潜势贡献占比最大, 非采暖、采暖和沙尘期分别达 97.8%、87.3% 和 69.5%。

参考文献:

- [1] Feng Y L, Chen Y J, Guo H, et al. Characteristics of organic and elemental carbon in PM_{2.5} samples in Shanghai, China [J]. Atmospheric Research, 2009, 92(4):434~442.
- [2] Lin P, Hu M, Deng Z, et al. Seasonal and diurnal variations of organic carbon in PM_{2.5} in Beijing and the estimation of secondary organic carbon [J]. Journal of Geophysical Research Atmospheres, 2009, 114(D2).
- [3] Huang R J, Zhang Y L, Bozzetti C, et al. High secondary aerosol contribution to particulate pollution during haze events in China [J]. Nature, 2014, 514(7521):218~222.
- [4] 王扶潘, 朱乔, 冯凝, 等. 深圳大气中 VOCs 的二次有机气溶胶生成潜势 [J]. 中国环境科学, 2014, 34(10):2449~2457.
Wang F P, Zhu Q, Feng N, et al. The generation potential of secondary organic aerosol of atmospheric VOCs in Shenzhen [J]. China Environmental Science, 2014, 34(10):2449~2457.
- [5] Daniel S T, Albert A P, Neil M D, et al. Secondary organic aerosol formation from intermediate-volatility organic compounds: cyclic, linear, and branched alkanes [J]. Environmental Science & Technology, 2012, 46(16):8773~8781.
- [6] 吕子峰, 郝吉明, 段晋春, 等. 北京市夏季二次有机气溶胶生成潜势的估算 [J]. 环境科学, 2009, 30(4):969~975.
Lv Z F, Hao J M, Duan J C, et al. Estimate of the formation potential of secondary organic aerosol in Beijing summertime [J]. Environmental Science, 2009, 30(4):969~975.
- [7] 王倩, 陈长虹, 王红丽, 等. 上海市秋季大气 VOCs 对二次有机气溶胶的生成贡献及来源研究 [J]. 环境科学, 2013, 34(2):424~433.
Wang Q, Chen C H, Wang H L, et al. Forming potential of secondary organic aerosols and sources apportionment of VOCs in autumn of Shanghai, China [J]. Environmental Science, 2013, 34(2):424~433.
- [8] 邹宇, 邓雪娇, 李菲, 等. 广州番禺大气成分站复合污染过程 VOCs 对 O₃ 与 SOA 的生成潜势 [J]. 环境科学, 2017, 38(6):2246~2255.
Zou Y, Deng X J, Li F, et al. Effect of VOCs on O₃ and SOA formation potential during the combined pollution process in Guangzhou Panyu atmospheric composition station [J]. Environmental Science, 2017, 38(6):2246~2255.
- [9] Dechaphanya W, Russell M, Allen D T. Estimates of anthropogenic secondary organic aerosol formation in Houston, Texas special issue of aerosol science and technology on findings from the fine particulate matter supersites program [J]. Aerosol science and technology, 2004, 38(S1):156~166.
- [10] Barthelme R J, Pryor S C. Secondary organic aerosols: formation potential and ambient data [J]. Science of the Total Environment, 1997, 205(2/3):0~178.
- [11] Wang H X, Zhou L G, Tang X Y. Ozone Concentrations in Rural Regions of the Yangtze Delta in China [J]. Journal of Atmospheric Chemistry, 2006, 54(3):255~265.
- [12] Lehman J, Swinton K, Bortnick S, et al. Spatio-temporal characterization of tropospheric ozone across the eastern United States [J]. Atmospheric Environment, 2004, 38(26):4357~4369.
- [13] Wang Y, Hopke P K, Xia X, et al. Source apportionment of airborne particulate matter using inorganic and organic species as tracers [J]. Atmospheric Environment, 2012, 55(3):525~532.
- [14] Wang H L, Chen C H, Wang Q, et al. Chemical loss of volatile organic compounds and its impact on the source analysis through a two-year continuous measurement [J]. Atmospheric Environment, 2013, 80(6):488~498.
- [15] Yusup T, Dilinuer T, Wang X, et al. Temporal distribution and source apportionment of PM_{2.5} chemical composition in Xinjiang, NW-China [J]. Atmospheric research, 2019, 218:257~268.
- [16] 沈浩, 迪丽努尔·塔力甫, 王新明, 等. 新疆独山子石化区域 PM_{2.5} 中水溶性无机离子的形成机制 [J]. 环境化学, 2018, 37(11):113~121.
Shen H, Dilinuer T, Wang X M, et al. Formation mechanism of water-soluble inorganic ions in PM_{2.5} in Dushanzi petrochemical district, Xinjiang [J]. environmental chemistry, 2018, 37(11):113~121.
- [17] 张艳利. 区域大气二次污染物有机前体物和消耗臭氧层物质研究 [D]. 北京: 中国科学院大学, 2013.
Zhang Y L. Study on organic precursors and ozone depleting substances of regional secondary atmospheric pollutants [D]. Beijing: University of Chinese Academy of Sciences, 2013.

- [18] 钟漂斯. 广州市黄埔区臭氧污染特征研究 [D]. 广州: 广州大学, 2018.
- Zhong P S. Study on characteristics of ozone pollution in huangpu district, Guangzhou [D]. Guangzhou: Guangzhou University, 2018.
- [19] 陈林, 王式功, 王莉莉. 新疆阜康地区秋季大气 NO_x 和 O₃ 变化特征及影响要素 [J]. 干旱气象, 2012, 30(3): 345–352.
- Chen L, Wang S G, Wang L L. The change characteristics and influencing factors of NO_x and O₃ in autumn in fukang region, xinjiang [J]. Journal of Arid Meteorology, 2012, 30(3): 345–352.
- [20] 刘新春, 钟玉婷, 何清, 等. 乌鲁木齐及周边城市空气质量变化特征及影响因素分析 [J]. 沙漠与绿洲气象, 2010, 4(4): 12–17.
- Liu X C, Zhong Y T, He Q, et al. The variety characteristics and influencing factors of air quality in Urumqi and its surrounding cities [J]. Desert and Oasis Meteorology, 2010, 4(4): 12–17.
- [21] 谭艳梅, 王旭, 马禹. 新疆雾天气的分析 [J]. 沙漠与绿洲气象, 2002, 25(2): 9–10.
- Tan Y M, Wang X, Ma Y. The analysis of in Xinjiang [J]. Desert and Oasis Meteorology, 2002, 25(2): 9–10.
- [22] 曾贤刚, 阮芳芳, 姜艺婧. 中国臭氧污染的空间分布和健康效应 [J]. 中国环境科学, 2019, 39(9): 4025–4032.
- Zeng X G, Ruan F F, Jiang Y J. Spatial distribution and health effects of ozone pollution in China [J]. China Environmental Science, 2019, 39(9): 4025–4032.
- [23] 谈建国, 陆国良, 瞿福海, 等. 上海夏季近地面臭氧浓度及其相关气象因子的分析和预报 [J]. 热带气象学报, 2007, 23(5): 101–106.
- Tan J G, Lu G L, Geng F H, et al. Analysis and prediction of surface O₃ concentration and related meteorological factors in summertime in urban area of Shanghai [J]. Journal of Tropical Meteorology, 2007, 23(5): 101–106.
- [24] 王宏, 陈晓秋, 林长城, 等. 福州近地层臭氧分布及与天气条件关系的研究 [C]//中国气象学会年会, 2011.
- Wang H, Chen X Q, Lin C C, et al. Study on ozone distribution and its relationship with weather conditions in Fuzhou [C]//Annual meeting of China meteorological society, 2011.
- [25] 李颖若, 汪君霞, 韩婷婷, 等. 利用多元线性回归方法评估气象条件和控制措施对 APEC 期间北京空气质量的影响 [J]. 环境科学, 2019, 40(3): 16–26.
- Li Y R, Wang J X, Han T T, et al. Using multiple linear regression method to evaluate the impact of meteorological conditions and control measures on air quality in Beijing during APEC 2014 [J]. Environmental Science, 2019, 40(3): 16–26.
- [26] Atkinson R. Atmospheric chemistry of VOCs and NO_x [J]. Atmospheric Environment, 2000, 34(12–14): 2063–2101.
- [27] Sillman S. The relation between ozone, NO_x and hydrocarbons in urban and polluted rural environments [J]. Atmospheric Environment, 1999, 33(12): 1821–1845.
- [28] Kinoian John R. Ozone–precursor relationships from EKMA diagrams [J]. Environmental Science & Technology, 1982, 16(12): 880–883.
- [29] 罗蕊, 王学中, 林国梁, 等. 一次污染物对臭氧生成的影响研究 [J]. 环境科学研究, 2006, 19(4): 26–30.
- Luo R, Wang X Z, Lin G L, et al. Study on the impact of primary pollutants on ozone formation [J]. Environmental Science, 2006, 19(4): 26–30.
- [30] 邓雪娇, 王新明, 赵春生, 等. 珠江三角洲典型过程 VOCs 的平均浓度与化学反应活性 [J]. 中国环境科学, 2010, 30(9): 1153–1161.
- Deng X J, Wang X M, Zhao C S, et al. The mean concentration and chemical reactivity of VOCs of typical processes over Pearl River Delta Region [J]. China Environmental Science, 2010, 30(9): 1153–1161.
- [31] 司雷霆, 王浩, 李洋, 等. 太原市夏季大气 VOCs 污染特征及臭氧生成潜势 [J]. 中国环境科学, 2019, 39(9): 3655–3662.
- Si L T, Wang H, Li Y, et al. Pollution characteristics and ozone formation potential of ambient VOCs in summer in Taiyuan [J]. China Environmental Science, 2019, 39(9): 3655–3662.
- [32] 胡成媛, 康平, 吴锴, 等. 基于 GAM 模型的四川盆地臭氧时空分布特征及影响因素研究 [J]. 环境科学学报, 2019, 39(3): 163–174.
- Hu C Y, Kang P, Wu K, et al. Study of the spatial and temporal distribution of ozone and its influence factors over Sichuan Basin based on generalized additive model [J]. Acta Scientiae Circumstantiae, 2019, 39(3): 163–174.
- [33] Yan Y, Peng L, Li R, et al. Concentration, ozone formation potential and source analysis of volatile organic compounds (VOCs) in a thermal power station centralized area: A study in Shuzhou, China [J]. Environmental Pollution, 2017, 223: 295–304.
- [34] Barletta B, Meinardi S, Rowland F S, et al. Volatile organic compounds in 43 Chinese cities [J]. Atmospheric Environment, 2005, 39(32): 5979–5990.
- [35] Santos C Y M D, Azevedo D D A, Neto F R D A. Atmospheric distribution of organic compounds from urban areas near a coal-fired power station [J]. Atmospheric Environment, 2004, 38(9): 1247–1257.
- [36] Fernández-Martínez G, López-Vilaro J M, López-Mahía P, et al. Determination of volatile organic compounds in emissions by coal-fired power stations from Spain [J]. Environmental Technology Letters, 2001, 22(5): 567–575.
- [37] Fernández-Martínez G, López-Mahía P, Muniategui-Lorenzo S, et al. Distribution of volatile organic compounds during the combustion process in coal-fired power stations [J]. Atmospheric Environment, 2001, 35(33): 5823–5831.
- [38] Grosjean, Daniel. In situ organic aerosol formation during a smog episode: estimated production and chemical functionality [J]. Atmospheric Environment, Part A: General Topics, 1992, 26(6): 953–963.
- [39] Liu Y, Shao M, Fu L, et al. Source profiles of volatile organic compounds (VOCs) measured in China: Part I [J]. Atmospheric Environment, 2008, 42(25): 6247–6260.
- [40] Yuan B, Shao M, Lu S, et al. Source profiles of volatile organic compounds associated with solvent use in Beijing, China [J]. Atmospheric Environment, 2010, 44(15): 1919–1926.
- [41] Barthelme R J, Pryor S C. Secondary organic aerosols: formation potential and ambient data [J]. Science of the Total Environment, 1997, 205(2/3): 0–178.
- [42] Dechapanya W, Russell M, Allen D T. Estimates of anthropogenic secondary organic aerosol formation in Houston, Texas special issue of aerosol science and technology on findings from the fine particulate matter supersites program [J]. Aerosol Science and Technology, 2004, 38(S1): 156–166.
- [43] Kourtidis K, Ziomas I. Estimation of secondary organic aerosol (SOA) production from traffic emissions in the city of Athens [J]. Global Nest, 1999, 1(1): 33–39.

作者简介: 张渊钰(1994-),女,山西晋中人,新疆大学硕士研究生,主要从事大气环境检测及健康风险评价等相关研究。